Elektrochemische Untersuchung der ternären Systeme: Aluminiumbromid-Silber- bzw. Kupferhalogenide in Bromäthyl, Bromäthylen, bzw. Benzol

Von W. A. Plotnikow und E. Y. Horenbein

Es wird gezeigt, dass in ternären Systemen, welche aus Silber-Kupferhalogeniden mit Aluminiumbromid und einem organischen Lösungsmittel bestehen, die spezifische elektrische Leitfähigkeit mit der Konzentration des Halogenids steigt. Bei der Elektrolyse scheidet sich an der Kathode Silber bzw. Kupfer einwertig aus; an der Anode - Brom. Die erhaltenen Resultate zeigen, dass das Dipolmoment nicht ganz die chemische und elektrochemische Aktivität des Lösungsmittels charakterisiert und dass die Ionisation der untersuchten Systeme durch die Grösse der Dielektrizitätskonstante nicht bestimmt wird.

Die Halogenide verschiedener Metalle sind in Lösungen von Aluminiumbromid in organischen Lösungsmitteln gut lösbar.

In Abwesenheit des Haloidsalzes zeigt eine Lösung von Aluminiumbromid in einigen Lösungsmitteln eine merkliche Leitfähigkeit, in anderen leitet sie den Strom beinahe nicht. So hat z. B. die Lösung von AlBr₃ in Schwefelkohlenstoff, Benzol, Bromäthylen und Brombenzol eine geringe elektrische Leitfähigkeit 1. Bromäthylen unterscheidet sich von den obengenannten Lösungsmitteln dadurch, dass schon das binäre System AlBr₈ — C₂H₅Br eine bedeutende Leitfähigkeit besitzt 2. In dieser Arbeit haben wir uns die Aufgabe gestellt, erstens die Lösungen in Brom-Äthyl zu untersuchen und zweitens die Wirkung des Anions des zugefügten Salzes auf die Eigenschaften der Lösungen des Aluminiumbromids in verschiedenen organischen Lösungsmitteln zu erforschen.

¹ J. d. Russ. phys.-chem. Ges., **40**, 391 (1908). ² J. d. Russ. phys.-chem. **Ges.**, **34**, 466 (1902).

Materialien und Methode

Bromäthyl und Bromäthylen wurden über geschmolzenem Chlorkalzium getrocknet und destilliert. Das Benzol wurde über Natrium getrocknet und destilliert.

Zur Arbeit benutzten wir Präparate, die bei einer bestimmten konstanten Temperatur abdestilliert und in zugeschmolzenen Ampullen aufbewahrt wurden.

Die Silberhalogenide ³ wurden aus mehrfach umkristallisiertem Silbernitrat und aus HCl, HBr und KJ dargestellt, wobei wir Kahlbaumsche Salzsäure benutzten; HBr erhielten wir mittels Einwirkung von Wasser auf PBr₃, und das Kaliumjodid wurde einigemal umkristallisiert bis zum Erhalten eines reinen Präparates. Die Silbersalze wurden unter Ausschluss von Licht getrocknet und aufbewahrt.

Die Kupferhalogenide 4 wurden aus durch Kristallisation gereinigtem Kupfersulfat, aus Kahlbaumscher HCl und mehrfach umkristallisiertem KBr dargestellt. Die erhaltenen CuCl und CuBr wurden zuerst mit Alkohol und dann mit Äther getrocknet und in dunklen Gefässen im Exsiccator über Phosphoranhydrid aufbewahrt.

Kahlbaumsches Kupferjodid wurde getrocknet und in zugeschmolzenen Ampullen aufbewahrt. Aluminiumbromid wurde auf die übliche Weise dargestellt und gereinigt.

Die elektrische Leitfähigkeit wurde bei 18° C, wie üblich, mittels Brücke und Telephon gemessen.

Die Messungen wurden in einem Gefäss mit platinierten Platinelektroden ausgeführt.

Das Gefäss war mit einem zugeschliffenen Pfropfen versehen. Das Auflösen wurde daselbst im Gefäss zur Leitfähigkeitsmessung vorgenommen, wobei zuerst das geschmolzene Aluminiumbromid, sodann das entsprechende Lösungsmittel und endlich allmählich Silberoder Kupfersalz eingeführt wurde.

Beim Lösen der Jodide in Anwesenheit von Aluminiumbromid in allen drei Lösungsmitteln wird die Lösung rötlich, wobei die Intensität der Färbung mit der Jodsalzkonzentration wächst. Das Lösen von AgCl in Bromäthyllösungen von Aluminiumbromid ruft

Vanino, Band I. Präparat. Ch., 531, 532 (1925).
 Vanino, Band I. Präparat. Ch., 508, 511 (1925).

eine hellgrüne Färbung hervor, mit CuCl wird die Lösung erst rot, dann farblos.

Die Systeme AlBr₃-AgBr und AlBr₃-CuBr ergeben in allen drei Lösungsmitteln dieselbe hellgelbe Färbung. In keinem der von uns untersuchten Fälle veränderte sich die elektrische Leitfähigkeit mit der Zeit. Wir betonen besonders diese Konstanz der Leitfähigkeit, da sich dieselbe bei organischen Lösungsmitteln recht oft mit der Zeit ändert ⁵.

Bei Messungen der veränderlichen Leitfähigkeit haben die erhaltenen Ergebnisse nur in dem Fall Bedeutung, wenn die Abhängigkeit der Leitfähigkeitsveränderung von der Zeit bekannt ist.

Bei Messungen der elektrischen Leitfähigkeit der Systeme AgCl-AlBr₃, AgBr-AlBr₃ und AgJ-AlBr₃ wurde in allen drei Lösungsmitteln das molekulare Verhältnis von AlBr₃ zum Lösungsmittel von 0,106 bis 0,37, bei den Systemen CuCl-AlBr₃, CuBr₃-AlBr₃, CuJ-AlBr₃ in Bromäthyl von 0,146 bis 0,374 geändert.

Um den Einfluss verschiedener Lösungsmittel aufzuklären, nahmen wir ungefähr gleiche molekulare Verhältnisse von Aluminiumbromid zum jeweiligen Lösungsmittel.

Für jede einzelne Versuchsreihe blieb das molekulare Verhältnis zwischen AlBr₈ und Lösungsmittel konstant; es wurde nur das molekulare Verhältnis zwischen dem Silber- bzw. Kupferhalogenid und Aluminiumbromid geändert.

Die Ergebnisse der Messungen sind in den Tabellen 1—9 und in den Fig. 1—4 angeführt. Jede Tabelle gibt die Resultate von 3 bis 5 Versuchsreihen an.

Aus den in den Tabellen 1—9 aufgeführten Daten ist zu ersehen, dass mit der Zugabe eines Silber- bzw. Kupferhalogenides zu den Aluminiumbromidlösungen die spezifische elektrische Leitfähigkeit wächst.

Der Einfluss des Lösungsmittels ist aus den Kurven (Fig. 1—2) zu ersehen, wo an der Abszissenachse die Molekularverhältnisse $\frac{\text{mol AgHd}}{\text{mol AlBr}_3}$ bzw. $\frac{\text{mol CuHd}}{\text{mol AlBr}_3}$, und an der Ordinatenachse die spezifische Leitfähigkeit angegeben sind. Die Kurven II, IV und VI (Fig. 1) und II, IV, V (Fig. 2) sind der Arbeit von W. A. Plot-

⁵ Wertyporoch, Ber., 64, 1369 (1931).

Tabelle 1 Die elektrische Leitfähigkeit des Systems AgCl-AlBr₃ in C₂H₅Br. Molekulares Verhältnis AlBr₃: $C_2H_5Br = 0,232 - 0,236$

mol AgCl mol AlBr ₃	K · 103	mol AgCl mol AlBr ₃	K • 10³
0,08	3,65	0.29	10.50
0,13		0,38	12,50
	5,33	0,61	17,44
0,15	5,87	0,79	19,51
0,22	7,56	0,83	19,78
0,24	8,31	0,96	21,01
0,29	9,90	5,55	21,01

Tabelle 2 Die elektrische Leitfähigkeit des Systems AgJ-AlBr3 in C2H5Br. Molekulares Verhältnis AlBr₃: C₂H₅Br = 0,23 - 0,235

mol AgJ mol AlBr ₃					$K \cdot 10^3$ $\frac{\text{mol AgJ}}{\text{mol AlBr}_3}$ $K \cdot 10^3$		K ⋅ 10³	
0,01	2,66	0,13	9,47	0,43	13,47			
0,02	3,61	0,17	10,49	0,45	13,72			
0,05	4,81	0,18	10,56	0,61	14,41			
0,06	5,66	0,19	10,33	0,65	14,55			
0,07	7,12	0,31	11,89	0,78	15,26			
0,11	8,05	0,34	11,90	0,86	15,82			
0,12	8,18	0,39	12,79	0,93	16,24			
		24.11.2		0,94	16,35			

nikow und E. Y. Horenbein 6 entnommen; die Kurve II (Fig. 3) der Arbeit von W. A. Plotnikow und B. A. Kiketz 7 und die Kurve II (Fig. 4) der Arbeit von W. A. Plotnikow, I. A. Scheka und S. A. Jankelewitsch 8 entnommen.

⁶ W. A. Plotnikow u. E. Y. Horenbein, Z. allgem. Chem. d. UdSSR, 4, 1042 (1934); 5, 1934 (1935).

7 W. A. Plotnikow u. B. A. Kiketz, Z. allgem. Chem. d. UdSSR,

⁸ W. A. Plotnikow, I. A. Scheka u. S. A. Jankelewitsch, Z. allgem. Chem. d. UdSSR, 4, 481 (1933).

Tabelle 3 Die elektrische Leitfähigkeit des Systems AgJ-AlBr₃ in C_2H_5Br . Molekulares Verhältnis AlBr₃: $C_2H_5Br = 0.369 - 0.374$

mol AgJ mol AlBr ₃			K ⋅ 10³	mol AgJ mol AlBr ₃	K ⋅ 10³
0,01	3,88	0,20	12,05	0,55	14,88
0,03	5,25	0,20	12,42	0,71	15,71
0,08	7,71	0,21	12,77	0,71	15,57
0,11	8,94	0,36	14,31	0,72	15,54
0,11	9,16	0,47	14,67	0,81	16,08
.0,14	10,53	0,52	15,26	0,85	16,35
-	_			0,87	18,81

 $\label{eq:table_4} Tabelle~4$ Die elektrische Leitfähigkeit des Systems CuCl-AlBr $_3$ in C $_2$ H $_5$ Br. Molekulares Verhältnis AlBr $_3$: C $_2$ H $_5$ Br = 0,237

mol CuCl mol AlBr ₃	V 103		K ⋅ 10³	mol CuCl mol AlBr ₃	K · 103	
0,04	2,99	0,20	7,18	0,71	13,89	
0,10	4,78	0,252	8,18	0,74	13,89	
0,11	5,08			0,88	13,89	
0,13	5,62	0,27	8,75	_	1917-29	
0,15	5,97	0,44	11,48	100 F	<u> </u>	
200 - 11	_	0,63	13,36	× 553.11	17.5	

Wenn man eine Gerade senkrecht zur Abszissenachse zieht, sodass dieselbe die Kurven schneidet, so werden auf diesen Kurven Punkte erhalten, die dem gleichen Molekularverhältnis des Silberbzw. Kupferhaloidsalzes zum Aluminiumbromid, aber verschiedenen Molekularverhältnissen von AlBr₈ zum Lösungsmittel entsprechen.

Der Vergleich der auf diese Weise für verschiedene Kurven erhaltenen Punkte zeigt die Vergrösserung der spezifischen Leitfähigkeit mit der Erhöhung der Aluminiumbromidkonzentration in allen drei Lösungsmitteln. Vergleichen wir die Kurven in verschiedenen Lösungsmitteln, so bemerken wir, dass im Bromäthylen (Fig. 3) die

Tabelle 5

Die elektrische Leitfähigkeit des Systems CuJ-AlBr₃ in C₂H₅Br.

Molekulares Verhältnis AlBr₃: C₂H₅Br = 0,230 — 0,236

mol CuJ mol AlBr ₃	K · 10³	mol CuJ mol AlBr ₂	K · 10³	mol CuJ mol AlBr ₃	K · 103
0,01	2,63	0,11	7,18	0,39	10,35
0,03	3,51	0,11	7,27	0.49	11,02
0,04	4,29	0,16	8,56	0,50	10,93
0,04	3,96	0,16	8,43	0,52	10,80
0,05	4,61	0,18	8,80	0,54	11,02
0,06	4,90	0,21	9,57	0,58	11,02
0,07	5,50	0,23	9,68	0,82	11,02
0,08	6,20	0,25	9,86	_	
0,10	6, 6 6	0,27	9,93		_

Tabelle 6

Die elektrische Leitfähigkeit des Systems AgCl-AlBr₃ in C₂H₄Br₂.

Molekulares Verhältnis AlBr₃: C₂H₄Br₂ = 0,367 — 0,372

mol AgCl mol AlBr ₃			K ⋅ 10³	mol AgCl mol AlBr ₃	K • 10³	
0,05	0,70	0,25	3,06	0,40	4,92	
0,10	0,87	0,25	3,08	0,41	5,23	
0,15	1,73	0,26	3,20	0,46	5,64	
0,20	2,30	0,34	3,86	0,58	6,58	
0,22	2,71	0,38	4,92	0,66	7,10	

individuellen Eigenschaften der Haloidsalze beinahe verloren gehen, und Aluminiumbromid als Hauptfaktor der Ionisation erscheint.

Was Bromäthyl (Fig. 1—2) und Benzol (Fig. 4) anbetrifft, so haben im ersteren die Jodide in verdünnten Lösungen eine grössere Leitfähigkeit als die Bromide und Chloride. In Benzol leitet jedoch das Silberjodid den Strom schlechter als die Chloride und Bromide.

Dies zeigt die Abwesenheit der Addivität in den von uns untersuchten ternären Systemen; augenscheinlich treten alle drei Kompo-

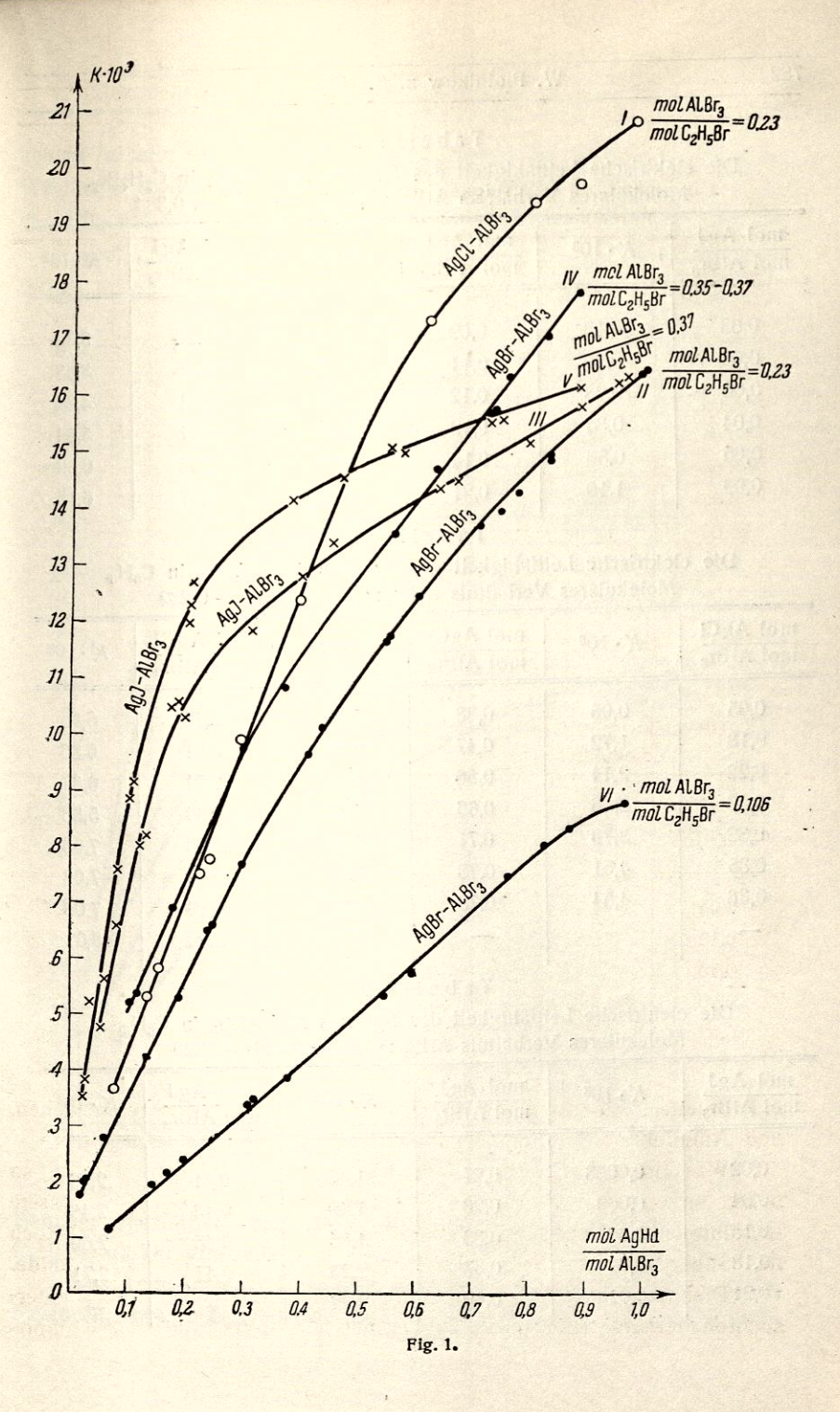


Tabelle 7

Die elektrische Leitfähigkeit des Systems AgJ-AlBr₃ in C₂H₄Br₂.

Molekulares Verhältnis AlBr₃: C₂H₄Br₂ = 0,363 — 0,384

$\frac{\text{mol AgJ}}{\text{mol AlBr}_3} \qquad K \cdot 10^3$		$\frac{\text{K} \cdot 10^3}{\text{mol AlBr}_3} \qquad \frac{\text{mol AgJ}}{\text{K} \cdot 10^3}$		mol AgJ mol AlBr ₃	K · 103	
0,03	0,13	0,09	1,14	0,23	2.20	
0,03	0,20	0,11	1,38	0,25	3,32	
0,04	0,28	0,12	1,59		3,68	
0,04	0,34	0,12	1,56	0,31	4,34	
0,05	0,50	0,14		0,51	5,94	
0,09	1,10		1,95	0,54	6,02	
	1,10	0,21	3,14	0,57	6,15	

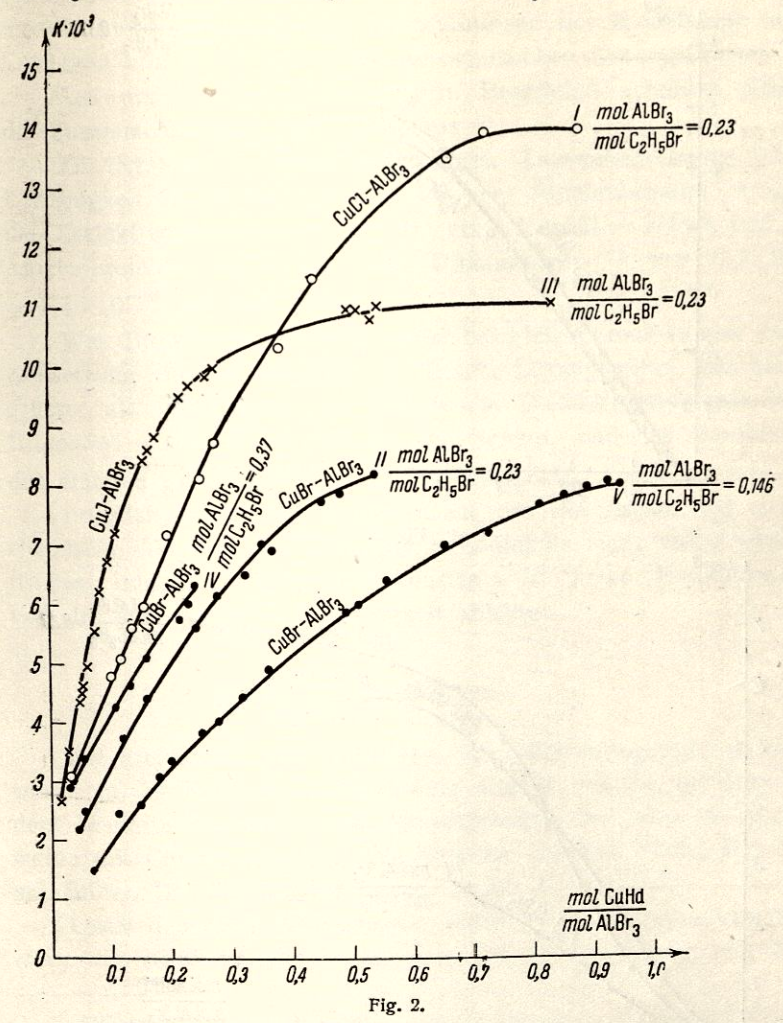
Tabelle 8 Die elektrische Leitfähigkeit des Systems $AgCl-AlBr_3$ in C_6H_6 . Molekulares Verhältnis $AlBr_3: C_6H_6=0,228-0,239$

mol AgCl mol AlBr ₃	K ⋅ 10³	mol AgCl mol AlBr ₃	$K \cdot 10^3$	mol AgCl mol AlBr ₃	K ⋅ 10 ³
0,05	0,06	0,38	5,41	0,75	COF
0,18	1,72	0,47	6,00	1	6,85
0,22	2,14	0,56	6,43	0,81	6,85
0,26	2,66	0,66	6,43	0,81	6,87
0,32	3,79	0,71		0,84	5,85
0,35	4,51	0,73	6,70	0,88	7,08
0,36	4,54		6,83	0,89	7,08
<u> </u>	1,04	0,73	6,83	0,89	7,08
			_	0,90	8,01

Tabelle 9 Die elektrische Leitfähigkeit des Systems AgJ-AlBr $_3$ in C_6H_6 . Molekulares Verhältnis AlBr $_3$: $C_6H_6=0.226-0.229$

mol AgJ	mol AgJ		K ⋅ 10³	mol AgJ	
mol AlBr ₃	mol AlBr ₃ K·10 ³			mol AlBr ₃	K · 10³
0,02 0,04 0,15 0,18 0,21	0,0008 0,009 0,36 0,72 0,91	0,27 0,28 0,33 0,37 0,40	1,45 1,49 1,85 2,25 2,32	0,41 0,43 0,45 0,47	2,36 2,46 2,60 2,71

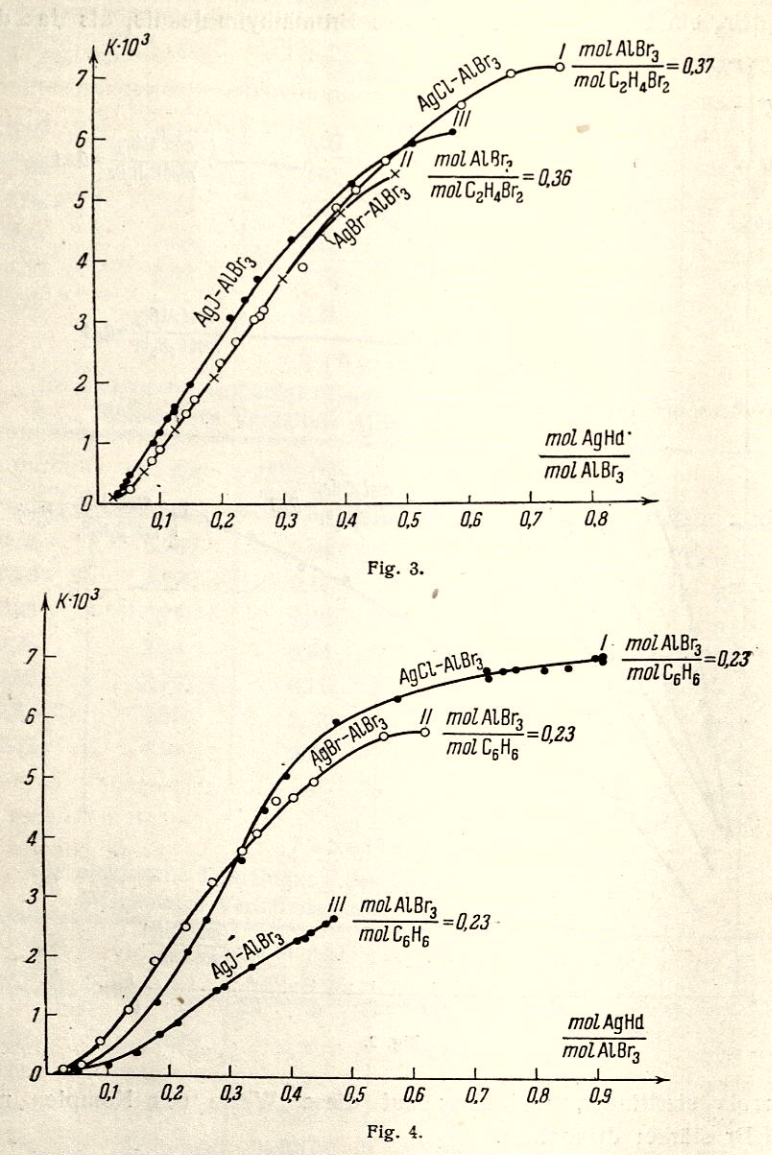
nenten in sehr enge Wechselwirkung. Man kann annehmen, dass bei Wechselwirkung des Lösungsmittels mit dem Komplex n AgJ—m AlBr₈ ein tieferes Eindringen des Bromäthylmoleküls, als das des



Benzols stattfindet, und dass auf diese Weise das Komplex mit $C_2H_5\mathrm{Br}$ stärker dissoziiert.

Was konzentrierte Lösungen anbetrifft, wo die Wirkung anderer Faktoren, wie beispielsweise die Viskosität und die Ionenbeweglich-

keit beträchtlich wird, leiten dort die Komplexe mit Chloriden den Strom besser als andere.



Wir erklären die Bildung leitender Systeme durch das Entstehen gut dissoziierbarer komplexer Verbindungen. Von der Bildung solcher

komplexer Verbindungen zeugt erstens die Ausscheidung von Kristallen aus gesättigten Lösungen, zweitens die Unlöslichkeit der Haloidsalze - in Abwesenheit von Aluminiumbromid, drittens die merkliche Wärmeausscheidung beim Auflösen der Haloidsalze in den Lösungen von Aluminiumbromid in organischen Lösungsmitteln 9.

Aus der Lösung CuBr-AlBr₃ in Bromäthyl scheiden Kristalle

der Zusammensetzung CuBr-AlBr, aus 10.

Für Systeme derselben molekularen Zusammensetzung ist die Leitfähigkeit in Benzol grösser als in Äthylenbromid, wogegen die Dielektrizitätskonstante (ε) 11 von Benzol = 2,283 und von Äthylenbromid — 4,855 ist. Das Dipolmoment 12 von C₂H₄Br₂ = $=1.4 \cdot 10^{-18}$ und von Benzol = 0.

Was Bromathyl anbetrifft, so ist bei gleicher molekularer Zusammensetzung die Leitfähigkeit in diesem Lösungsmittel nur zweimal grösser als im Benzol, wo jedoch die Dielektrizitätskonstante von Bromäthyl 4 mal grösser ist als von Benzol, und das Dipolmoment des ersteren gleich 2,05 · 10⁻¹⁸ abs. elektrostat. Einheiten ist.

Folglich, kann das Dipolmoment die chemische und elektrochemische Aktivität des Lösungsmittelmoleküls nicht völlig charakterisieren, und die Dielektrizitätskonstante ist keine Hauptkonstante, von der die elektrische Leitfähigkeit abhängt.

Elektrolyse

Bei Elektrolyse von Systemen, die Silberhalogenide enthielten, wurde an der Kathode in Form einer dichten Schicht, an deren Rändern Dendrite wuchsen, Silber ausgeschieden; der beste Niederschlag wurde mit Chlorid erhalten. Die Kathode war aus Platin, die Anode aus Silber. Die Stromdichte betrug 10 bis 15 mA/cm².

Unter denselben Bedingungen ergibt die Elektrolyse von Systemen, die Kupferhalogenide in einer Äthylbromidlösung von Alumi-

⁹ Daraus folgt, dass die Salze, die in wässerigen Lösungen Silberionen bilden, in dem von uns untersuchten Aluminiumbromidlösungen nicht als Reagentien auf das Haloid-Ion dienen können; vergl. Nespital, Z. physik. Chem., 16, 153 (1932).

10 Berichte d. Chem. Inst. d. Allukr. Akad. d. Wissensch. Bd. 2, Heft

^{1, 3 (1935).}

¹¹ Landolt-Börnstein, Phys.-chem. Tabellen (1923). 12 De by e, Polare Moleküle, S. 191 (1929).

niumbromid enthalten, feinkristallinisches Kupfer an der Kathode; an den Rändern in der Richtung zur Anode wuchsen Dendrite; die allerfeinsten Kristalle wurden mit Kupferchlorid erhalten.

In den meisten Fällen entsprechen die Mengen des ausgeschiedenen Metalles dem Faradayschen Gesetze nicht, da Dendrite sich von der Kathode loslösen und auch Stückchen der zerfressenen Anode abfallen. Bei einigen Versuchen sind die Ergebnisse den nach dem Faradayschen Gesetze berechneten theoretischen Werten nahe.

Die sich entladenden Kupferionen sind einwertig.

Ta	b e l	1 e	10
----	-------	-----	----

Systeme	Gewicht von AlBr ₃	Gewicht des Salzes	Gewicht des Lö- sungs- mittels	Ge- wichts- zunahme im Cou- lombme- ter	Ge- wichts- zunahme an der Kathode	0/0 Aus- beute
AgCl—AlBr ₃ C ₂ H ₅ Br	2,0807	0,1265	3, 6895	0,1181	0,1181	98,1
AgBr—A1Br ₃ C ₂ H ₅ Br	1,9610	0,1448	7,1988	0,0927	0,0926	99,8
$AgJ-AlBr_3-C_2H_5Br$.	1,9430	0,1590	3,8438	0,1233	0,1231	99,84

Beim Eintauchen einer Aluminiumplatte in eine Lösung von AlBr₃ in C₂H₅Br ist, wie schon von anderen Verfassern ¹³ berichtet wurde, erst eine langsame, später allmählich steigende Abscheidung von Gas zu bemerken. Dasselbe ist auch an anderen Metallen beobachtet worden. Beim Eintauchen einer Aluminiumplatte in eine Bromäthyllösung von Aluminiumbromid, welche AgCl enthält, wird die Platte von einer sich leicht von der Oberfläche loslösenden glatten Silberschichte bedeckt; in einer Lösung mit AgBr wird die Platte von feinen und mit AgJ von gröberen Kristallen bedeckt; letztere haften weniger fest an der Oberfläche der Platte.

Beim Eintauchen einer Kupferplatte in dieselben Lösungen, wird dessen Oberfläche von einer glatten Silberschicht bedeckt, wobei ein besserer Niederschlag mit Silberchlorid erhalten wird. Dasselbe ist auch an Benzol- und Äthylenbromidlösungen zu beobachten.

¹³ Patten, J. Physic. Chem., 8, 548 (1904).

Es folgt daraus, dass in Anwesenheit von Chloriden ein besserer Niederschlag und eine ganz glatte Oberfläche zu erhalten sind.

Zersetzungsspannung

Die Bestimmung der Zersetzungsspannung wurde wie üblich in einem Gefäss mit eingelöteten Platinnadelektroden vorgenommen. Das Gefäss war mit einem zugeschliffenen Pfropfen versehen.

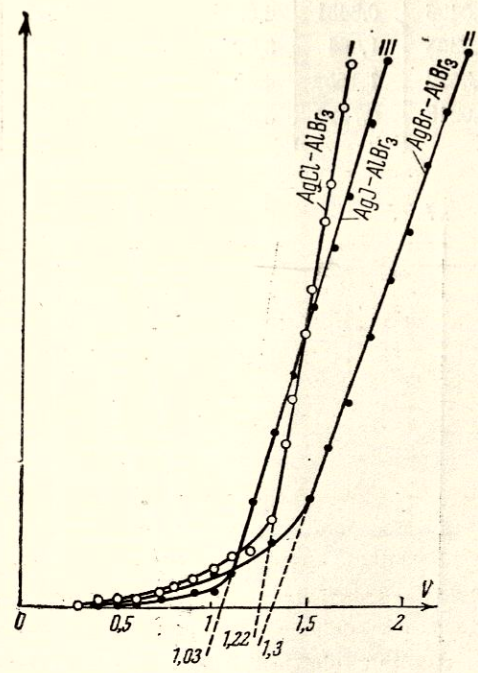


Fig. 5. Zersetzungsspannung in C2H5Br.

Die Empfindlichkeit unserer Messapparate war folgende: Galvanometer — 10^{-7} mA, Voltmeter — 0,02 V. Der Untersuchung wurden Lösungen, die Silber- bzw. Kupferhalogenide in Äthylbromid oder Benzollösungen von AlBr₃ enthielten, unterworfen. Die Zusammensetzung der Benzollösung war AgCl—0,0893 g, AlBr₃—0,9454 g, C_6H_6 —2,3024 g.

Die Ergebnisse der Messungen sind in den Kurven der Fig. 5, 6 und 7 und in Tabelle 11 wiedergegeben.

Tabelle 11

Verbindung	Konzentration		C ₂ H ₅ Br	gs-	igs-	Gefundene Zerset- zungspannung in Volt	
	Salz- menge in g	AlBr ₃ in g	in g	Bildungs- wärme	Zersetzungs- spannung, be- rechnet	C_2H_5 Br	C ₆ H ₆
AgCl	0,0532	1,2182	4,6786	31,2	1,39	1,22	1,16
AgBr	0,1055	3,401	6,3236	23,32	1,04	1,3	1,35
AgJ	0,0406	0,8431	4,0519	14,354	0,62	1,03	_
CuCl	0,0308	1,064	3,0778	32,60	1,41	1,2	_
CuBr	0,3672	1,1658	4,5990	24,98	1,08	1,136	1,138
CuJ	0,0218	0,7728	5,3308	16,26	0,73	1,04	_

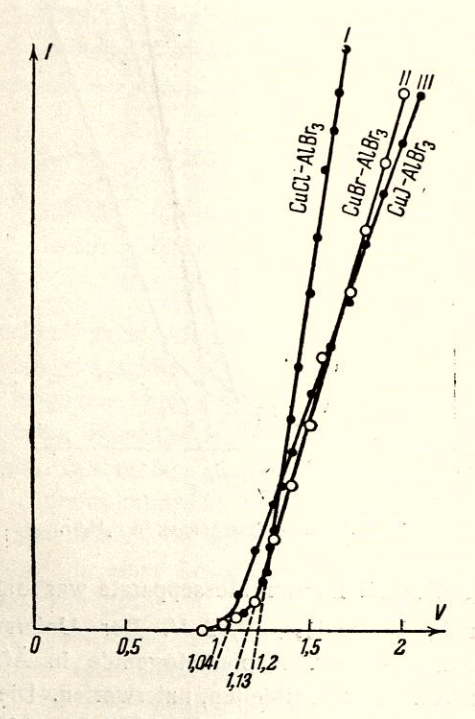


Fig. 6. Zersetzunsspannung in C2H5Br.

Wie obenerwähnt, werden bei der Elektrolyse Silber oder Kupfer an der Kathode ausgeschieden.

Also messen wir in Lösungen die Zersetzungsspannung der Silber- bzw. Kupferhalogenide (siehe Tabelle 11). Wenn wir die nach der Thompsonschen Formel $E=\frac{Q}{n\cdot 23}$ berechneten thermoschemischen Daten mit unseren Resultaten vergleichen, so kommen wir

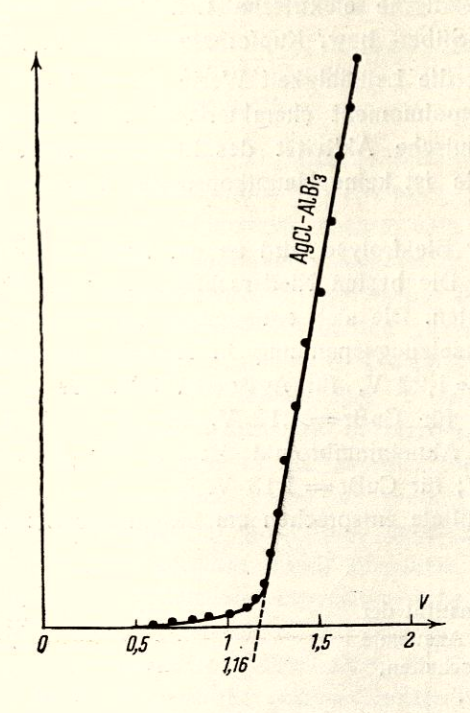


Fig. 7. Zersetzungsspannung in C6H6.

zu dem Schluss, dass die Zersetzungsspannung der Systeme, welche verschiedene Silber- bzw. Kupferhalogenide enthalten, besser der Zersetzungsspannung des Bromids entsprechen.

Die sehr bedeutende Abweichung von den thermochemischen Daten kann man nicht nur durch die ungenügende Genauigkeit der Formel von Thompson erklären, sondern es beeinflussen augenscheinlich die komplizierten Vorgänge der Komplexbildung das Potential.

Zusammenfassung

- 1. Es wurden ternäre Systeme, welche aus Silber- bzw. Kupferhalogeniden, Aluminiumbromid und einem organischen Lösungsmittel (Benzol, Bromäthyl, Bromäthylen) bestehen, untersucht.
- 2. Die spezifische elektrische Leitfähigkeit steigt mit der Konzentration des Silber- bzw. Kupferhalogenides. In konzentrierten Lösungen erreicht die Leitfähigkeit Werte bis zu $1 \cdot 10^{-2}$.
- 3. Das Dipolmoment charakterisiert nicht völlig die chemische und elektrochemische Aktivität des Lösungsmittels, und die Dielektrizitätskonstante ist keine Hauptkonstante, von der die Leitfähigkeit abhängt.
- 4. Bei der Elektrolyse wird an der Kathode Silber bzw. Kupfer ausgeschieden. Die besten Niederschläge ergeben die Lösungen, die Chloride enthalten. Die sich entladenden Kupferionen sind einwertig.
- 5. Die Zersetzungsspannung in Äthylbromidlösungen von $AlBr_8$ ist für AgCl=1,22 V, für AgBr=1,3 V, für AgJ=1,03 V, für CuCl=1,2 V, für CuBr=1,13 V, für CuJ=1,04 V; in Benzollösungen von Aluminiumbromid ist sie für AgCl=1,16 V, für AgBr=1,35 V; für CuBr=1,13 V.

Diese Resultate entsprechen am besten der Zersetzungsspannung des Bromids.

Chemisches Institut der Ukrainischen Akademie der Wissenschaften, Kiew.

Eingegangen am 16. Februar 1936.